

کلونینگ و بهینه سازی کدون ژن فنیل آلانین دهیدروژناز در سیستم بیانی *E.coli* و مقایسه بیان ژن با دو پروموتور *T7* و *λPR*

سعید حیدری کشل^{۱,۲}، صنم زندیان^۴، فریبا قاسم وند^۳، سعید رحمان زاده^۳، معصومه ایمان زاده^۵، نوید نظافت^{۳*}

^۱ مرکز تحقیقات پرتوژومیکس، دانشگاه علوم پزشکی شهید بهشتی

^۲ واحد فراهم آوری سلول های بنیادی، مرکز تحقیقات چشم، بیمارستان فارابی، دانشگاه علوم پزشکی تهران

^۳ آزمایشگاه تکنولوژی آنزیم، گروه بیوشیمی، انتستیتو پاستور ایران

^۴ دانشکده داروسازی، دانشگاه علوم پزشکی شیراز

^۵ دانشکده پزشکی، دانشگاه علوم پزشکی تبریز

چکیده

سابقه و هدف: یکی از کاربردهای پزشکی آنزیم فنیل آلانین دهیدروژناز، تعیین مقدار دقیق سطح *L*-فنیل آلانین در سرم خون افراد جهت شناسایی بیماران مبتلا به بیماری فنیل کتونوریا می باشد. در این مطالعه، میزان بیان پروتئین مورد نظر بعد از بهینه سازی کدون ژنی (*pdh*) در دو ناقل بیانی *pET-23a* و *pPR37* در میزان بیانی *E.coli* بررسی شد.

روش بررسی: در این تحقیق تجربی، از ژن فنیل آلانین دهیدروژناز (*pdh*) بهینه سازی شده مربوط به باکتری *B. Sphaericus* استفاده شد که در دو ناقل بیانی *pET-23a* و *pPR37* کلون گردید. بیان ژن *pdh* در ناقلين بیانی *pET-23a* و *pPR37* به ترتیب با افزودن الفاگر شیمیایی *IPTG(ImM)* و تغییر دمایی ۳۰ به ۴۲ درجه سانتی گراد صورت گرفت. بهینه سازی کدون با نرم افزار *Jcat* انجام گرفت. آنزیم فنیل آلانین دهیدروژناز (*PheDH*) با استفاده از ستون کروماتوگرافی *Ni-NTA* تخلیص گردید. در ادامه با *SDS-PAGE* *PeDH* را در حدود ۴۱ KDa نشان داده شد. همچنین خلوص و میزان پروتئین توسط *SDS-PAGE* تعیین گردید.

یافته ها: بیشترین میزان بیان ۱ ساعت بعد از القاء در سازه *pETpdh/BL21(DE3)plyS* مشاهده شد، در حالی که میزان بیان در همان مدت زمان در سازه دیگر بسیار پایین بود. فعالیت ویژه آنزیم بعد از به کار گیری روش تخلیصی *U/mg* از پروتئین محاسبه شد. بیان پروتئین مورد نظر بعد از بهینه سازی کدون و در سازه ژنی *pETpdh* بیشتر بود.

نتیجه گیری: با توجه به مقایسه دو سازه ژنی در بیان پروتئین مورد نظر، سازه *pETpdh* احتمالاً جهت تولید آنزیم *PeDH* در مقیاس بالا مناسب تر بوده و بر اساس این تحقیق برای این کار توصیه می گردد.

وازگان کلیدی: فنیل آلانین دهیدروژناز، بیان، پلاسمید، پروموتور.

مقدمه

دارد و بر این اساس این نوزادان امکان استفاده از شیر مادر یا شیر خشک های معمول را ندارند. اختلال اصلی در این بیماری، تجمع اسید آمینه فنیل آلانین در مایعات بدن و سیستم عصبی است. تجمع این اسید آمینه به دلیل عدم وجود آنزیم مورد نیاز برای تبدیل فنیل آلانین به تیروزین رخ می دهد. شناسایی سریع و به موقع این نقص سیار حائز اهمیت است، لذا از کاربردهای پزشکی آنزیم، شناسایی و

بیماری فنیل کتونوریا نقص متabolیکی مادرزادی نادری است که در آن نقص در سنتز آنزیم فنیل آلانین دهیدروژناز وجود

آدرس نویسنده مسئول: تهران، انتستیتو پاستور ایران ، گروه بیوشیمی، آزمایشگاه تکنولوژی آنزیم، نوید نظافت (e-mail: navidnezafat@yahoo.com)

تاریخ دریافت مقاله: ۱۳۹۲/۷/۱۴

تاریخ پذیرش مقاله: ۱۳۹۲/۱۰/۱۰

کلوزینگ کدون ژن فنیل آلانین دهیدروژناز در E.coli

بیانی، راحتی استفاده و قیمت ارزان و بازده بالا در تولید پروتئین‌ها، هنوز روش ترجیحی در بیان پروتئین‌های نوترکیب است. با این وجود دلایل اولیه در عدم موفقیت در تولید کارآمد پروتئین نوترکیب شامل ترجیح استفاده کدونی، سمیت محصول، حلایلت، ساختار دوم mRNA و پایداری mRNA است (۱۶).

بیان پروتئین‌های غیرمتجانس در اشرشیا کولی ممکن است به دلیل ترجیح استفاده کدونی کاهش یابد. در این موارد، اگر تمایل کدونی یک ژنی که می‌خواهد بیان شود با تمایل کدونی که در اشرشیا کولی استفاده می‌شود متفاوت باشد. غلظت‌های tRNAs در اشرشیا کولی برای کدون‌هایی که استفاده کمتری دارند کافی نیست و در نتیجه ترجیمه بهینه RNA اتفاق نمی‌افتد. وجود کدون‌های نادر باعث اشتباہات ترجمه‌ای مانند توقف، پایان، جایگزینی آمینواسید و تغییر احتمالی چهارچوب خواندن است. رقابت برای tRNA نادر همچنین می‌تواند تاثیر منفی روی بیان ژن‌های میزان داشته باشد.

کدون‌های آرژنین (AGG و AGA) به طور اختصاصی در اشرشیا کولی نادر است، همان طور که tRNA مرتبط با این کدون‌ها نیز نادر است و این کدون‌ها می‌توانند باعث اشتباہات ترجمه‌ای و در نتیجه کاهش سطح بیان پروتئین مورد نظر شوند. عدم پیوستگی در مورد کدون CGG نیز مشاهده شده است. به دلیل اینکه تمام کدون‌هایی که در یک خانواده کدونی متراffد قرار دارند با یک سرعت یکسان در بیان پروتئین‌های غیرمتجانس در اشرشیا کولی مورد استفاده قرار نمی‌گیرند (تمایل کدونی)، بهینه سازی کدون در تولید پروتئین‌های یوکاریوتی در میزان‌های پروکاریوتی لازم است (۱۵).

استراتژی‌های مختلفی برای کاهش تمایل استفاده کدونی به کار می‌رود. یکی از پر کاربردترین استراتژی‌ها به نام بهینه سازی کدون یا "codon optimization" معروف است.

تکنیک بهینه سازی کدون به طور وسیع برای افزایش بیان پروتئین‌های خارجی استفاده می‌شود و معمولاً موجب افزایش ۱۰ تا ۵۰ برابری در تولید پروتئین هدف می‌شود (۱۶).

مواد و روشها

این مطالعه به روش تجربی انجام گرفت. اجزای مورد استفاده در این مطالعه شامل نرم افزار آنلاین Jcat جهت اپتیماز نمودن کدون ژنی مورد نظر برای میزان بیانی

تعیین میزان دقیق L-phe در سرم خون است که به منظور غربالگری بیماران مبتلا به PKU (فنیل کتونوریا) استفاده می‌شود. آنزیم L-فنیل آلانین دهیدروژناز⁺ (PheDHNAD⁺) در سال ۱۹۸۴ EC 1.4.1.20؛ دامیتاز ۱.۴.۱.۲۰؛ در شناسایی شد (۱) و پس از آن در منابع میکروبی مختلفی از قبیل *Microbacterium* (۲)، *Sporocarcina* (۳)، *Bacillusbadius* (۴)، *Nocardia* (۵)، *Rhodococcus Maris k-18* (۶) و *Thermoactinomyces* (۷) یافت شد. pheDH دارای کاربردهای صنعتی و تجاری نیز می‌باشد. از مصارف صنعتی pheDH تولید L-فنیل آلانین خالص نوری است (۸، ۹) که از آن به عنوان شیرین کننده مصنوعی آسپارتام (با نام تجاری Nutrasweetener) استفاده می‌شود (۱۰). لذا تولید صنعتی این آنزیم هم جهت مصارف پزشکی و هم صنعتی بسیار مهم است. با توجه به پائین بودن میزان تولید آنزیم در سویه‌های وحشی، محققین از تکنولوژی‌های DNA نوترکیب به منظور افزایش میزان بیان آنزیم استفاده می‌کنند (۱۱). در اولین تحقیقاتی که جهت افزایش تولید آنزیم pheDH صورت گرفت، شرایط رشد در sp *Brevibacterium*-sp (بهینه ۱۲) و سپس با استفاده از تکنیک‌های DNA نوترکیب، ژن فنیل آلانین دهیدروژناز (pdh) مربوط به سویه باکتریایی *E.coliRRI* به میزان بالای IAM در ناقل pBR322 کلون و در *E.coli* به میزان بالای *Bacillusbadius* (۱۲). در تحقیق دیگری ژن pdh از باکتری *Bacillus sphaericus* جدا وارد پلاسمید pUC9 شده و در نهایت در *E. coliJM103* ترانسفورم گردید (۱۳). در ادامه جداسازی ژن pdh از کتابخانه ژنومی *Rhodococcus* sp.M4 و *E. coli* BL21(DE3) بیان گردید (۱۰). امیدی نیا و همکاران میزان ژن در ناقل بیانی pET-3d کلون و در میزان BL21(DE3) بیان گردید (۱۰). امیدی نیا و همکاران میزان pdh که تحت کنترل دو پرومотор وحشی بود در دو میزان *B. subtilis* JM109 و *E.coli* JM109 مورد مقایسه قرار دادند (۱۴). در این تحقیق میزان بیان pheDH در دو سیستم بیانی مختلف با یکدیگر مقایسه شدند. در سیستم اول از ناقل بیانی *E. coliBL21(DE3)plysS* و میزان pET-23a (PET-23a/BL21(DE3) plysS) در این سیستم ژن pdh در پائین دست pROMOTOR (PET-23a/BL21(DE3) plysS) قرار می‌گیرد. در سیستم دوم از ناقل *pPR37* و *E. Coli TG1* استفاده شد و در آن ژن pdh بیانی دست پرومотор سمت راست فاژ لامبدا کلون شد، پرومотор این ناقل به طور حرارتی توسط سرکوب کننده جهش یافته CI857 مقاوم به حرارت کنترل می‌شود. بیان بالای ژن‌های هدف در اشرشیا کولی به دلیل اطلاعات وسیع از ژنتیک اشرشیا کولی، گستردگی حامل‌ها و گونه‌های

پرایمر جلو رونده دارای جایگاه برش *BamHI* و کدون آغاز ATG است و پرایمر عقب رونده فقط دارای جایگاه برش *HindIII* است. محصول PCR (۱۱۴۶ جفت باز) توسط دو آنزیم محدود کننده *BamHI* و *HindIII* بریده شده، قطعه ژنی به دست آمده وارد جایگاه برش *HindIII*, *BamHI* ناقل pET-23a گردید. سازه جدیدی که بدین ترتیب حاصل شده، pETpdh نامیده می‌شود.

ساب کلون کردن *pdh* در *pPR37* آماده سازی ژن *pdh*

ژن *pdh* بهینه سازی شده توسط نرم افزار Jcat که در داخل سازه ژنی pGEM-*pdh* ساخته شده، توسط واکنش زنجیره پلیمرازی (PCR) از سازه ژنی فوق به عنوان الگو، توسط پرایمر جلو رونده *GCAGATCTATGGCAAAACAGCTT3'* جایگاه برش *BglII* و کدون آغاز ATG است و پرایمر عقب، رونده که جایگاه برش *BamHI* در آن طراحی شده است، جدا سازی شد. ناقل pPR37 که دارای پرومотор قبل القاء توسط حرارت در بالا دست جایگاه برش *BamHI* و *BglII* است، توسيط دو آنزیم *BamHI* و *BglII* بریده شده و قطعه ژنی حاصل وارد جایگاه *BamHI* و *BglII* ناقل pPR37 شد. سازه جدید pPRpdh نامیده می‌شود. به منظور تعیین کلون‌های مناسب در ناقل بیانی pPR37، که در آنها جهت ژن‌های کلون شده نسبت به پرومотор صحیح بود، بعد از بررسی آنژیمی قطعه ترانسفورماسیون، ۱۰ کلون انتخاب و در محیط کشت LB رشد داده شد که ۲ تا از این کلون‌ها دارای بیان پروتئینی مورد نظر بودند.

ترانسفورماسیون

سلول‌های BL21(DE3)plysS و TGL به ترتیب توسط pETpdh و pPRpdh بهینه سازی شده ترانسفورم شدند. تهیه سلول‌های مستعد برای ترانسفورماسیون بر اساس پروتکل ذکر شده در کتاب Sambrook انجام شد. سویه BL21(DE3)plysS فائز T7 RNA پلیمراز (که *T7* است) را کد می‌نماید) و توسط توالی پرومотор – اپرатор *LacUV5* کنترل می‌شود و با القاء می‌گردد (۱۸).

XL1-Blue و *E.coliDH5α* به ترتیب برای تکثیر و تخلیص pETpdh و pPRpdh استفاده می‌شود.

بيان *pheDH*

سلول‌های ترانسفورم شده در محیط کشت LB درجه‌سانی گراد حاوی آمپی سیلین با غلظت $50 \mu\text{g/ml}$

E.coli سازه ژنی سنتز شده در وکتور حداست- pGEM-5ZF، ناقلین بیانی pPR37 و pET-23a، جفت پرایمر های طراحی شده جهت تکثیر و کلون نمودن ژن در داخل ناقلین، آنزیم‌های محدود الاثر *BamHI*, *HindIII*, *BglII* و محیط کشت‌های لازم جهت رشد میزبان بیانی *E.coli* بودند.

بهینه سازی کدون ژن *pdh*

در ابتدا ژن *pdh* وحشی مربوط به باسیلوس اسفلیکوس Gene script(۱۸) (http://www.jcat.de/) بررسی و سپس به دلیل اینکه کدون‌های این ژن برای بیان در میزبان بیانی *E.coli* ارجحیت نداشت، کدون‌های توالی اصلی با کدون‌های دارای ارجحیت بیشتر در *E.coli* توسط نرم افزار Jcat جایگزین گردید. در نهایت ژن بهینه سازی شده توسط نرم افزار آنلاین Gene script بررسی مجدد شد.

تکثیر پلاسمیدها در *E. coliDH5α* و XL1-Blue (Invitrogen, USA) صورت گرفت. ناقل pET-23a از شرکت Novagen(USA)، محیط کشت لوربا برتانی (LB) برای رشد باکتری *E.coli* آنتی‌بیوتیک‌ها IPTG، X-gal از شرکت MERCK و آنزیم‌های محدود کننده DNA لیگاز T4 از شرکت فرمنتاز خریداری شدند. همچنین کیت‌های PCR، تخلیص DNA از روی ژل، تخلیص پلاسمید از شرکت فرمنتاز خریداری شدند.

آماده سازی ژن *pdh*

سازه ژنی مورد استفاده در این تحقیق، ژن *pdh* بهینه سازی شده متناسب با میزبان *E.coli* بود که در وکتور حداست- pGEM-5ZF (شرکت ندای فن) سنتز گردید. ژن *pdh* باسیلوس اسفلیکوس (۱۱۴۶ جفت باز طول داشت که از بانک ژنی NCBI به دست آمد و کد دسترسی آن (Accession No.) M26661.1 بود.

ساب کلون کردن *pdh* در *pET-23a*

آماده سازی ژن *pdh*

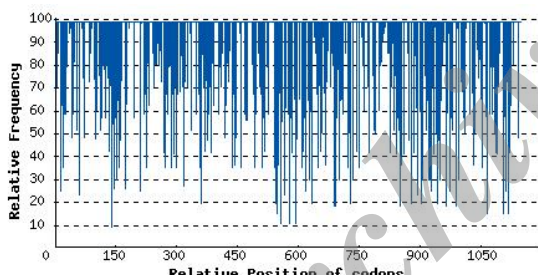
ژن *pdh* بهینه سازی شده با نرم افزار Jcat که در داخل سازه ژنی pGEM-*pdh* تهیه شده بود، توسط واکنش زنجیره پلیمرازی (PCR) از سازه ژنی فوق به عنوان الگو توسط پرایمر جلو رونده ۲۲ جفت بازی ۵' TGGATCCATGGCAAAACAGCTT3' و عقب ۵' GCGAAGCTCTTTATGTTCCAC3' رونده ۲۵ جفت بازی ۵' جفت بازی ۲۲ جفت بازی ۵' GCGAAGCTCTTTATGTTCCAC3' جدا شد.

E.coli کلونینگ کدون ژن فنیل آلانین دهیدروژناز در

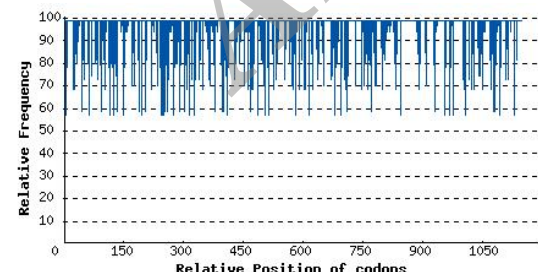
مخلوط واکنش حاوی ۱۰۰ mM بافر گلایسین-KCl، 200mM NH₄Cl، 0.1mM NADH، pH 9.0، KOH 10mM فنیل پیروات سدیم و محلول آنزیمی (در حجم کل ۱ml) انجام شد. یک واحد آنزیمی، مقداری از آن آنزیم است که تشکیل ۱ μmol از NADH را در واکنش دامیناسیون اکسیداتیو کاتالیز کند. غلظت پروتئین توسط اسپکتروفوتومتر (جذب در nm 280 با ضریب جذب Bio(A_{1%/1cm})=6.3 با کیت سنجش غلظت پروتئین (radlaboratories, Inc تعیین شد (۱۹، ۲۰).

یافته‌ها

شاخص ارجحیت کدون ژن pdh قبل از بهینه سازی در شکل ۱ و بعد از بهینه سازی در شکل ۲ ارائه شده است و نشان می‌دهد که ژن وحشی در داخل میزان بیانی E.coli با شاخص ارجحیت کمتر از ۰.۶۶ بیان شده و بعد از بهینه سازی در داخل همان میزان با شاخص بیانی بالای ۰.۸۶ بیان شده است. بر اساس شاخص‌های نرم افزاری این مقدار این شاخص جهت بیان مناسب یک ژن در داخل یک میزان بزرگ‌تر از ۰/۸ می‌باشد.



شکل ۱. شاخص ارجحیت کدون (CAI: codon adaption index) ژن pdh قبل از بهینه سازی کدون



شکل ۲. شاخص ارجحیت کدون (CAI) ژن pdh بعد از بهینه سازی کدون

در شکل ۳ و ۴ حضور ژن pdh در داخل سازه‌های ژنی پس از بهینه سازی ارائه گردیده است و نشان می‌دهد که ژن مورد نظر به درستی در داخل سازه‌های ژنی pPRpdh و pETpdh

رشد داده شدند و رشد باکتری‌ها به OD₆₀₀=۰/۶ رسید. سلول‌هایی که دارای pETpdh بودند، با اضافه کردن M IPTG القاء شدند و سلول‌های حاوی pPRpdh با افزایش دما از ۳۷ به ۴۲ درجه سانتی‌گراد القاء گردیدند و سپس در زمان‌های مختلف ۳ ساعت، ۵ ساعت و ۸ ساعت پس از القاء، سلول‌ها توسط سانتریفیوز ۳۵۰۰ rpm به مدت ۱۵ دقیقه جمع آوری شده و دو بار توسط محلول ۰/۹% NaCl شستشو داده شدند و تا زمان استفاده در فریزر -۲۰ درجه سانتی‌گراد نگهداری گردیدند.

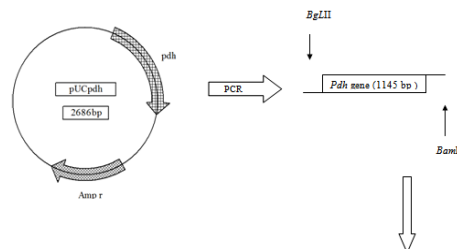
تخليص His-Tag دارای pheDH

رسوب سلول‌ها در بافر A (۰.۱، ۵۰ mM Tris-HCl pH 8.3، ۱mg/ml ۵ mM 2-mercaptoproethanol، mM EDTA لیزوزیم) معلق شده، سپس به مدت ۲۰ دقیقه در دمای اتاق قرار داده شدند و در ادامه سلول‌ها توسط دستگاه اولتراسونیکاسیون به مدت ۱۰ دقیقه با امواج اولتراسونیک ۹ KHz شکسته شدند. به منظور حذف سلول‌های خرد شده، محلول سونیکاسیون به مدت ۳۰ دقیقه در ۱۵۰۰ rpm در دمای ۴ درجه سانتی‌گراد سانتریفیوز شدند. آنگاه سوپرناتانت حاصله در محلول بافری Tris-HCl 20mM 2mM pH8 که شامل NaCl 0.5M و ۲ مراکپتواتانول باشد، حل شده و سپس به ستون سفارز- شلات کننده (QIAGEN) Ni²⁺(Cl-6B)، اضافه شدند. در ادامه ستون با بافر ایمیدازول ۲۵mM ۲۰ mM HcL و pH8 (شامل ۰.۵M NaCl) باشد. به منظور حذف سلول‌های خرد شده از ستون جدا و مراکپتواتانول ۲mM و ایمیدازول ۲۵۰ mM از ستون جدا و تخلیص شد. پس از جمع آوری پروتئین تخلیص شده از ستون‌های مختلف و یکپارچه سازی آنها، علیه بافر (Tris-2-EDTA ۰.۰۵mM و HCl ۲۵mM، pH8 mercaptoethanol ۲.۵mM) دیالیز شدند. در ادامه آنزیم تخلیص شده با SDS-PAGE مورد شناسایی قرار گرفت.

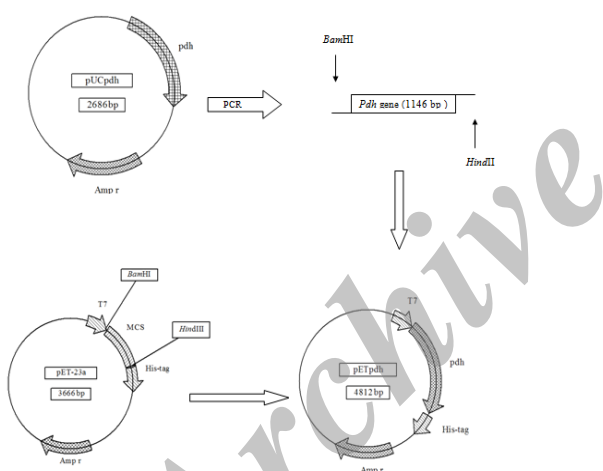
سنچش فعالیت آنزیمی

سنچش فعالیت آنزیمی pheDH در دمای ۲۵ درجه سانتی گراد توسط احیاء NAD⁺ با استفاده از L-فنیل آلانین به عنوان سوبسترا در ۱ml مخلوط واکنش حاوی ۱۰۰ mM NADH ۱mM KOH, pH 9.0-KCl- 10mM Sodioumphenylpyrovate، 200mM NH₄Cl انجام گرفت و در نهایت نمونه آنزیمی اندازه‌گیری شد. به منظور تعیین پارامترهای Km و Vmax آنزیم pheDH غلظت‌های مختلف L-فنیل آلانین و NAD⁺ به کار برده شد. آمیناسیون احیایی در دمای ۲۵ درجه سانتی‌گراد در

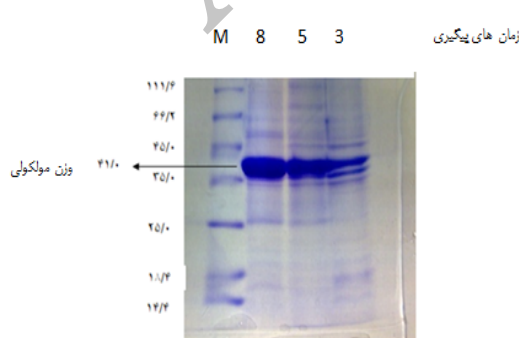
القاء بوده است. وزن مولکولی این پروتئین ۴۱ کیلو دالتون بود. به منظور بررسی کمی pheDH ژل توسط کوماسی بلو R250 رنگ آمیزی و سپس اسکن گردید.



شکل ۵. ساخت کلونینگ ژن *pdh* در ناقل بیانی (pPR37(pPRpdh))

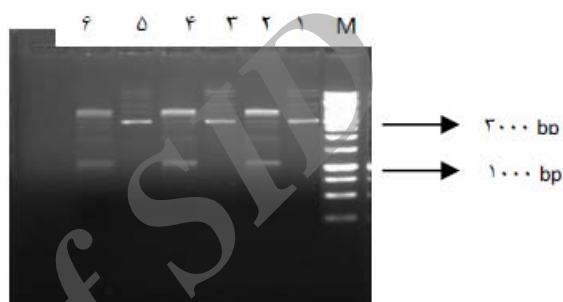


شکل ۶. ساخت کلونینگ ژن *pdh* در ناقل بیانی (pET-23a (pETpdh))

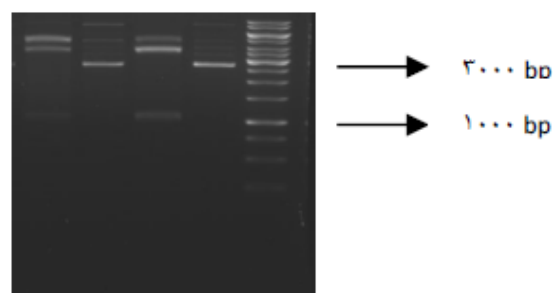


شکل ۷. میزان بیان pheDH در سازه pETpdh در SDS-PAGE میزان بیان pheDH در سازه pETpdh در زمان‌های پیگیری.

کلون شده بودند. در شکل ۳، ستون‌های M نمایانگر مارکر ۱Kb است. ستون ۱: pET-23a بر什 نخورده، ستون ۲: سازه pETpdh بر什 خورده با BamHI و HindIII و ستون‌های ۳، ۴ و ۵ به ترتیب pET-23a بر什 نخورده، ستون ۶: سازه pET-23a بر什 خورده با BamHI و HindIII از کلون‌های مختلف می‌باشد. در شکل ۴ نیز ستون ۱: pPR37 بر什 نخورده، ستون ۲: سازه pPR37 بر什 خورده با BamH pPRpdh و ستون‌های ۳ و ۴: ناقل کلون‌های مختلف pPR37 بر什 نخورده و سازه بر什 داده شده از کلون دیگر می‌باشد.



شکل ۳. تایید حضور ژن *pdh* در سازه pETpdh توسط برش آنزیمی بر روی ژل آگاراز ۱٪



شکل ۴. تایید حضور ژن *pdh* در سازه pPRpdh توسط برش آنزیمی بر روی ژل آگاراز ۱٪

سازه و ترانسفورماسیون

در شکل ۵، نحوه ترانسفورماسیون ژن *pdh* در ناقل بیانی pPR37 به صورت شماتیک نشان داده شده است و در شکل ۶ نیز نحوه ترانسفورماسیون ژن در ناقل بیانی pET-23a ارائه گردیده است.

بیان، بررسی SDS-PAGE و تخلیص

میزان کمی بیان pheDH در سازه pETpdh توسط SDS-PAGE ۱۰٪ بررسی و در شکل ۷ ارائه شده است و در ستون ۳ نشان می‌دهد که در زمان ۸ ساعت بعد از القاء بیشترین بیان را داشته است و کمترین بیان مربوط به ۵ ساعت بعد از

کلوبیننگ کدون ژن فنیل آلانین دهیدروژناز در *E.coli*

جدول ۲. تخلیص آنزیم pheDH از *E.coli* BL21 (DE3)/pETDH

و تعیین میزان فعالیت آنزیم				
مرحله	فعالیت ویژه محصول (%)	پروتئین (mg)	فعالیت (U)	فعالیت ویژه محسوب (U/mg)
عصاره تام	۱۰۰	۷/۷	۱۴۰.۹	۱۰۸۵۰
(crude extract)				
خالص سازی روی ستون (Ni-NTA column)	۶۰	۷۰.۵	۹	۶۳۵۰

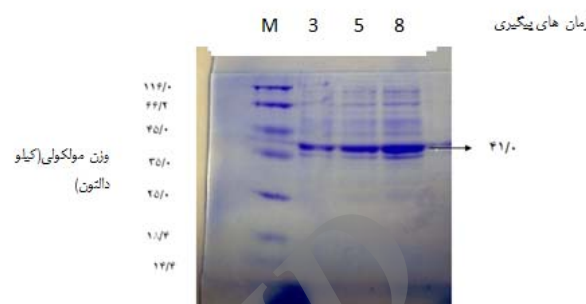
همان گونه که داده‌های جدول ۲ نشان می‌دهند در عصاره تام گرفته شده از محیط کشت که حاوی همه پروتئین‌های موجود در باکتری می‌باشد، فعالیت ویژه آنزیم PeDH ۷/۷ واحد در هر میلی گرم می‌باشد، اما در ادامه با خالص سازی این محصول بر روی ستون نیکل و جداسازی آنزیم مورد نظر، فعالیت ویژه آنزیم برای دامیناسیون اکسیداتیو L-فنیل آلانین ۷۰.۵U/mg پروتئین بود، در حالی که فعالیت pheDH تخلیص شده از BL21(DE3)plyS/pETpdh ۱۷۰۰۰U/L آندازه گیری شد، به عبارتی بعد از تخلیص فعالیت ویژه آنزیم افزایش یافته است.

بحث

این تحقیق نشان داد که بهینه سازی کدون ژن فنیل آلانین دهیدروژناز جهت بیان در میزان *E.coli* کاراًمد بوده و میزان بیان پروتئین در این روش نسبت به استفاده از ژن سویه وحشی باکتری پاسیلوس اسفلیکوس بالاتر رفته است. همچنین در بررسی مقایسه کردن بیان دو ناقل بیانی مورد نظر که هر یک واحد پرموتور خاص خود بودند، به این نتیجه رسیدیم که بیان این ژن در میزان *E.coli* توسط ناقل pET-23a که دارای پرموتور T7 بود، نسبت به ناقل بیانی pPR37 که دارای پرموتور λPR بود، حدود ۴ برابر بیشتر بود. در هر دو سازه در بازه زمانی ۸ ساعت بعد از القاء بیشترین میزان بیان دیده شد. فعالیت ویژه آنزیم بعد از تخلیص افزایش یافت که این مقدار ۳۸۶ بار بیشتر از سویه وحشی آن در *B.sphaericus* (۴۴U/L) بود.^(۹)

در سیستم‌های بیانی القاء شونده توسط IPTG، مانند سیستم بیانی pET، به منظور تولید پروتئین نوترکیب نیاز به القاء توسط القاء کننده شیمیایی IPTG است. در این سیستم، *E.coli* RNA پلیمراز T7، توسط ژن T7 که بر روی ژنوم BL21(DE3)plyS سویه قرار گرفته است، رمز می‌شود.

در شکل ۸ میزان کمی بیان ژن pheDH در سازه pPRpdh ارائه شده است و نشان می‌دهد که در ۸ ساعت بعد از القاء میزان بیان بالاتری را داشته است. وزن مولکولی پروتئین مورد نظر ۴۱ کیلو دالتون بود.



شکل ۸. میزان بیان pheDH در سازه pPRpdh در زمان‌های پیگیری

میزان بیان محصول pheDH در سازه‌های pPRpdhpETpdh با استفاده از اسکن دنسیتومتری و نرم افزار Quanti-Scan به صورت کمی در آمد. نتایج نشان دادند که پیک تولید محصول در هر دو ساعت بعد از القاء بود و میزان تولید در TG1/pPRpdh ۶۵/۵٪ و برای BL21(DE3)plyS/pETpdh حدود ۱۵/۶٪ از کل پروتئین باکتریایی بود. بنابراین میزان بیان در سازه pETpdh تقریباً ۴ برابر میزان بیان در سازه دیگر بود.

تعیین پروتئین و سنجش آنزیمی:
میزان بیان آنزیم در BL21(DE3)plyS/pETpdh و TG1/pPRpdh توسط اندازه گیری فعالیت اکسیداتیو NADH به عنوان شاخص تعیین شد.

جدول ۱. میزان بیان pheDH به تفکیک سازه‌ها

سازه پرموتر	فعالیت آنزیم در محیط کشت (واحد آنزیمی/لیتر)
BL21(DE3)plyS/pETpdh T7	۱۷۰۰۰
TG1/pPRpdh λ	۴۹۰۰
<i>E. coli</i> BL21(DE3)/pETDHT7 lac and wild	۶۳۰۰
<i>E. coli</i> JM109/pBPDH1-DBL ^a Lac and wild	۷۲۰۰

^aAsano et al. 1990.

داده‌های به دست آمده نشان دادند که بیشترین میزان تولید pheDH در سازه pETpdh است و در سایر موارد میزان بیان کمتری را نشان دادند. بدین دلیل، سازه pETpdh برای تخلیص آنزیم و رنگ آمیزی انتخاب شد (جدول ۲).

سازی غلظت IPTG، نوع رده سلوالی، محیط کشت و شرایط القاء دارد. در این مطالعه، ژن *pdh* در دو ناقل بیانی مختلف که دارای پرومتورهای متفاوتی‌اند، ساپ کلون گردید. میزان بیان ۴۹۰۰ U/L pPRpdh در ۶۹۰۰ U/L pETpdh و در ۴۹۰۰ U/L pheDH به دست آمد. بیشترین میزان بیان مربوط به سازه pETpdh/ pETpdh pETpdh E. coli BL21(DE3)plysS به استون کروماتوگرافی Ni-NTA با هموژنیته نهایی ۶۰٪ تخلیص شد. در نهایت در این پروژه هدف رسیدن به یک سازه بیانی مناسب‌تر جهت تولید صنعتی آنزیم فیلآلاتین دهیدروژناز بود و بر اساس این تحقیق سازه pETpdh راندمان بالاتری را شان داد هرچند این ناقل بیانی به توسط القاگر IPTG که یک ترکیب شیمیایی گران و دارای سمت است، تحریک می‌گردد. شاید بتوان با بررسی‌های بیشتر سازه pPRpdh را با راندمان بالاتری ارائه نمود تا از آن به جای سازه pETpdh استفاده شود. علت موفق شدن در بازده تولید بالاتر به واسطه تغییر کدون‌ها و تبدیل آنها به کدون‌های مناسب برای بیان در سیستم بیانی E.coli را می‌توان این گونه بازگو نمود که در بررسی ارجحیت کدون‌ها، کدون‌هایی که به طور مکرر در میزان برای بیان پروتئین‌ها استفاده می‌شوند با کدون‌های نادری که در طول توالی ژن در موقعیت‌های مختلف قرار دارند، جایگزین می‌شوند. فرضیه این استراتژی این است که با وارد کردن یک جانبه کدون‌هایی که به طور مکرر در میزان برای بیان پروتئین‌ها استفاده می‌شوند در طول توالی، پروتئین حاصل با میزان بالای بیان می‌شود، زیرا دیگر tRNA پذیرنده به عنوان عامل محدود کننده در سنتز پروتئین نیست. این نگرش منجر به بیان موقوفیت آمیز تعدادی از محصولات می‌شود، با این وجود در بعضی از موارد افزایش بسیار بالای پروتئین باعث تولید پروتئین‌های نامحلول در ساختارهای انکلوزیون می‌شود که استراتژی‌های برای خالص سازی آنها باید به کار رود (۱۵). نیاز به استفاده‌های گوناگون پروتئین‌ها در پژوهشکی و صنعت را نمی‌توان از ذخایر طبیعی موجود در باکتری‌ها تامین نمود. توانایی باکتری E.coli در رشد سریع، آسانی کشت باکتری در محیط کشت‌های ارزان، ساختار ژنتیکی شناخته شده آن و در دسترس بودن انواع گوناگون ناقلين بیانی برای E.coli موجب گردیده است که E.coli به عنوان یکی از مهمترین و پرکاربردترین میزان‌ها به منظور تولید پروتئین‌های نوترکیب مورد استفاده قرار گیرد. هنگام بیان پروتئین‌های نوترکیب، معمولاً انتظار این است که به مقادیر زیادی محصول پروتئینی به دست آید. برخی از پارامترهای مهم که بر میزان بیان پروتئین هترولوگوس در

پرومتور LacUV5 سنتز RNA پلیمراز T7 را کنترل می‌نماید. بدین منظور القاگر شیمیایی IPTG با غیرفعال نمودن سرکوبگر LacI می‌تواند منجر به فعال سازی پرومتور T7 گردد. سیستم pET که در این مطالعه از آن استفاده شده است، دارای سه مزیت است: ۱) پرومتورقوی T7 در ناقل pET-23a (۲) وجود شش آمینو اسید پشت سرهم هیستیدین که به انتهای کربوکسیل پروتئین نوترکیب اضافه می‌شود (His-tag) که تخلیص پروتئین را توسط استون کوماتوگرافی سیستم Ni⁺-NTA تسهیل می‌نماید، ۳) میزان بیانی E.coli سویه BL(DE3)plysS که دارای پلاسمید pET می‌باشد است که لیزوزیم RNA را رمز می‌کند که این لیزوزیم به باقیمانده‌های T7 پلیمراز که در غیاب القاء وجود دارد متصل شده و مانع از بیان پروتئین نوترکیب در زمان القاء شدن می‌شود. این سیستم دارای نقایصی از قبیل هزینه بالا و سمت بالقوه IPTG است که مانع از استفاده آن در مقادیر صنعتی و کاربردهای درمانی می‌شود. در سیستم‌های قابل القاء توسط حرارت مانند PR، تولید پروتئین نوترکیب توسط تغییر دمایی، بدون استفاده از القاء کننده‌های سیمی و گران قیمت صورت می‌گیرد. در ۳۰ درجه سانتی‌گراد و پایین‌تر سرکوبگر CI که توسط ناقل تولید می‌شود، فعال است و پرومتور را سرکوب می‌کند. افزایش دما منجر به غیرفعال شدن سرکوبگر و در نهایت باعث القاء رونویسی از ژن و سنتز pheDH می‌شود (۲۲). این سیستم دارای دو مزیت عمده است: ۱) القاء آسان و کم هزینه پرومتور (۱۱)، ۲) استفاده از پروتئین نوترکیب حاصله در مصارف درمانی به دلیل استفاده از القاگر غیررسمی.

بررسی پروتئین‌های تام بیان شده از لیز سلوالی در سازه‌های pPRpdh و pETpdh نشان داد که میزان تولید محصول در سیستم pETpdh به طور قابل ملاحظه‌ای از سیستم بیشتر است، اگرچه مزیت PR قابل القاء توسط حرارت، راحتی و کم هزینه بودن آن است (۲۲). در مطالعات قبلی، مقادیر مختلف آنزیم از pheDH نوترکیب از B. badius IAM Brevibacteriumsp (3342 U/l)، B. sphaericus SCRC-R97a (7200 U/l)، (2390 U/l) E. coli BL21(DE3) (6300 U/l) subtilis ISW1214 (4700 U/l) (U/l) به دست آمده است (۳، ۴، ۱۰، ۱۲). با این وجود، Hanson و همکارانش تولید مقدار زیادی از pheDH نوترکیب E.coli در T.intermedius گزارش کردند (۱۹۰۰ U/L) (۲۴). ظاهراً نتایج مختلف حاصله بستگی به نوع پرومتور، ساختار mRNA و توپولوژی آن و شرایط بیان از قبیل بهینه

کلونینگ کدون ژن فنیل آلانین دهیدروژناز در *E.coli*

بطور خلاصه، ژن *B.sphaericuspdh* به طور موفقیت آمیزی در دو ناقل بیانی pET و pPR کلون و در سیستم میزبان *E.coli* بیان شدند. میزان پروتئین بیان شده در دو سیستم با یکدیگر مقایسه شد. نتایج نشان داد که میزان پروتئین که در سیستم pET بیان می شود ، بیشتر از pPR است. بنابراین از سیستم pET برای انجام مراحل پائین دست پروتئین استفاده شد، آنزیم بیان شده دارای برچسب پلی هیستیدین می باشد که برای تشییت بر روی سطح پلیت میکرولیتر پوشیده شده از نیکل ایده آل است.

تشکر و قدردانی

بدین وسیله مراتب تشکر و قدردانی خود را از شورای پژوهشی مرکز تحقیقات پرتوغومیکس بیان نموده و مقاله حاضر حاصل پایان نامه دانشجویی می باشد.

REFERENCES

- Hummel W, Weiss N, Kula MR. Isolation and characterization of a bacterium possessing L-phenylalanine dehydrogenase activity. *Arch Microbiol* 1984; 137: 47-52.
- Asano Y, Nakazawa A, Endo K, Hibino Y, Ohmori M, Numao N, et al. Phenylalanine dehydrogenase of *Bacillus badius*. *Eur J Biochemistr* 1987;168:153-59.
- Asano Y, Nakazawa A, Endo K. Novel phenylalanine dehydrogenases from *Sporosarcina ureae* and *Bacillus sphaericus*. Purification and characterization. *J Biol Chemistr* 1987; 262: 10346-54.
- Asano Y, Tanetani M. Thermostable phenylalanine dehydrogenase from a mesophilic *Microbacterium sp.* strain DM 86-1. *Arch Microbiol* 1998;169: 220-24.
- Misono H, Yonezawa J, Nagata S, Nagasaki S. Purification and characterization of a dimeric phenylalanine dehydrogenase from *Rhodococcusmaris* K-18. *J Bacteriol* 1989;171: 30-36.
- Boer L, Rijssel M, Euverink G, Dijkhuizen L. Purification, characterization and regulation of a monomeric L-phenylalanine dehydrogenase from the facultative methylotroph *Nocardia sp.* 239. *Arch Microbiol* 1989;153:12-18.
- Ohshima T, Takada H, Yoshimura T, Esaki N, Soda K. Distribution, purification, and characterization of thermostable phenylalanine dehydrogenase from thermophilic actinomycetes. *J Bacteriol* 1991;173:3943-48.
- Tachibana S, Suzuki M, Asano Y. Application of an enzyme chip to the microquantification of *L-phenylalanine*. *Anal Biochemistr* 2006; 359: 72-78.
- Asano Y, Yamada A, Kato Y, Yamaguchi K, Hibino Y, Hirai K, et al. Enantioselective synthesis of (S)-amino acids by phenylalanine dehydrogenase from *Bacillus sphaericus*: use of natural and recombinant enzymes. *J Organic Chem* 1990;55:5567-71.
- Brunhuber N, Banerjee A, Jacobs Jr WR, Blanchard JS. Cloning, sequencing, and expression of *Rhodococcus* L-phenylalanine dehydrogenase. Sequence comparisons to amino-acid dehydrogenases. *J Biol Chemistr* 1994;269: 16203-11.
- Peti W, Page R. Strategies to maximize heterologous protein expression in *Escherichia coli* with minimal cost. *Protein Expression and Purification* 2007; 51: 1-10.
- Hummel W, Schmidt E, Wandrey C, Kula MR. L-Phenylalanine dehydrogenase from *Brevibacterium sp.* for production of L-phenylalanine by reductive amination of phenylpyruvate. *Appl Microbiol Biotechnol* 1986;25:175-85.
- Okazaki N, Hibino Y, Asano Y, Ohmori M, Numao N, Kondo K. Cloning and nucleotide sequencing of phenylalanine dehydrogenase gene of *Bacillus sphaericus*. *Gene* 1988;63:337-41.

E.coli تاثیر می گذارد عبارتند از: تعداد نسخه های پلاسمیدی، پایداری و فولدینگ mRNA، پروموتور، عناصر موثر در ترجمه، سمیت پروتئین و ارجحیت کدون ها (۲۱). وزن مولکولی زبر واحد pheDH در سوبه های مختلف بین ۳۶ تا ۴۲ کیلو دالتون تخمین زده می شود (۱۰). وزن مولکولی pheDH نوترکیب به دست آمده در این تحقیق ۴۱ کیلو دالتون تخمین زده است که با گزارشات قبلی منطبق است (۳). تفاوت های قابل ملاحظه ای در ساختار چهارم این آنزیم وجود دارد. آنزیم به دست آمده از *Rhodococcusmaris* و *Rhodococcus sp.M4* به صورت دایمر گزارش شده است (۲۵). از طرف دیگر *B. badius*, *B. sphaericus*, *DM 86-1*, *S. ureae* و *Microbacteriumsp* به صورت هشت تایی است 239 . (۴) به صورت مونومر است (۶).

14. Omidinia E, Samadi A, Taherkhani H, Khatami S, Moazami N Pouraie RR, et al. Cloning and expression of *Bacillus sphaericus* phenylalanine dehydrogenase gene in *Bacillus subtilis* cells: purification and enzyme properties. *World J Microbiol Biotechnol* 2002;18:593-97.
15. Burgess-Brown NA, Sharma S, Sobott F, Loenarz C, Oppermann U, Gileadi O. Codon optimization can improve expression of human genes in *Escherichia coli*: a multi-gene study. *Protein Expression and Purification* 2008;59: 94-102.
16. Jia H, Fan G, Yan Q, Liu Y, Yan Y, Jiang Z. High-level expression of a hyperthermostable Thermotogamaritima xylanase in *Pichiapastoris* by codon optimization. *J Mol Catalysis B: Enzymatic* 2012;78: 72-77.
17. Grote A, Hiller K, Scheer M, Münch R, Nörtemann B, Hempel DC, et al. J Cat: a novel tool to adapt codon usage of a target gene to its potential expression host. *Nucleic Acids Res* 2005;33:W526-31.
18. Chao Y, Law W, Chen P, Hung W. High production of heterologous proteins in *Escherichia coli* using the thermo-regulated T7 expression system. *Appl Microbiol Biotechnol* 2002;58: 446-53.
19. Mohamadi HS, Omidinia E. Purification of recombinant phenylalanine dehydrogenase by partitioning in aqueous two-phase systems. *J Chromatography B* 2007; 854: 273-78.
20. Mohamadi HS, Omidinia E, Dinarvand R. Evaluation of recombinant phenylalanine dehydrogenase behavior in aqueous two-phase partitioning. *Process Biochemistr* 2007;42: 1296-301.
21. Baneyx F. Recombinant protein expression in *Escherichia coli*. *Curr Opin Biotechnol* 1999; 10: 411-21.
22. Menart V, Jevševar S, Vilar M, Trobiš A, Pavko A. Constitutive versus thermoinducible expression of heterologous proteins in *Escherichia coli* based on strong PR, PL promoters from phage lambda. *Biotechnol Bioengineer* 2003;83: 181-90.
23. Valdez-Cruz NA, Caspeta L, Pérez NO, Ramírez OT, Trujillo-Roldán MA. Production of recombinant proteins in *E. coli* by the heat inducible expression system based on the phage lambda pL and/or pR promoters. *Microb Cell Fact* 2010;9: 18.
24. Hanson RL, Howell JM, LaPorte TL, Donovan MJ, Cazzulino DL, Zannella V, Montana MA, et al. Synthesis of allysine ethylene acetal using phenylalanine dehydrogenase from *Thermoactinomycesintermedius*. *Enzyme Microb Technol* 2000;26: 348-58.
25. Vanhooke JL, Thoden JB, Brunhuber NMW, Blanchard JS, Holden HM. Phenylalanine dehydrogenase from *Rhodococcus* sp. M4: high-resolution X-ray analyses of inhibitory ternary complexes reveal key features in the oxidative deamination mechanism. *Biochemistry* 1999;38: 2326-39.